

## Фотоприемник ультрафиолетового излучения на основе фосфида галлия

М. П. Биксей, Ю. Г. Добровольский, Б. Г. Шабашкевич  
ООО «Научно-производственная фирма "Тензор"», г. Черновцы, Украина

*Приведены результаты разработки фотоприемника на основе фосфида галлия, чувствительного в спектральном диапазоне 220–450 нм. Фоточувствительный элемент получен на основе поверхности-барьерной структуры фосфид галлия — двуокись олова, легированной фтором. Токовая монокроматическая чувствительность разработанного фотоприемника на длине волны 440 нм составляет не менее 0,2 А/Вт.*

Фосфид галлия занимает одно из ведущих мест среди соединений  $A_3B_5$ . Большая ширина запрещенной зоны, высокая твердость, низкая химическая активность поверхности кристалла и наличие отработанных процессов обработки делают его перспективным материалом для создания оптоэлектронных приборов для видимой и ультрафиолетовой (УФ) областей спектра, работающих при высоких температурах и отличающихся высокой стабильностью и долговечностью. Полезная особенность фосфида галлия — его практически полная прозрачность для оптического излучения с энергией до ~2,48 эВ (около 0,5 мкм). Собственное поглощение GaP начинается с 2,27 эВ (порядка 0,55 мкм), но из-за реализации непрямых переходов при этой энергии квантов оно мало и остается таким вплоть до энергий порядка 2,7 эВ, сильное поглощение начинается лишь при  $h\nu > 2,7$  эВ.

Оптические параметры GaP представлены на рис. 1 [1], где  $n$  — показатель преломления,  $k$  — коэффициент поглощения,  $R$  — коэффициент отражения оптического излучения от поверхности фосфида галлия. Материал имеет выраженный длинноволновой край оптического поглощения. В рабочем диапазоне длин волн практически полное поглощение оптического излучения (в слое полупроводникового материала толщиной равной  $1/2\alpha$ , где  $\alpha$  — показатель поглощения, поглощается до 86 % попавшего в слой излучения) происходит в слое толщиной до 1,5 мкм (рис. 2).

Фотоприемники на основе фосфида галлия выпускаются рядом фирм. Для создания фоточувствительного элемента используется поверхность-барьерная структура с полупрозрачным металлическим слоем [2, 3]. В качестве исходного материала используются как объемные монокристаллы, так и эпитаксиальные структуры с концентрацией носителей  $10^{16}$ – $10^{17}$  см $^{-3}$ . Чаще всего для создания барьера применяется тонкий слой золота (реже никеля) с дополнительным просветляющим покрытием (например пленки ZnS). Металл наносится термическим напыле-

нием в вакууме, либо (значительно реже) электрохимическим осаждением.

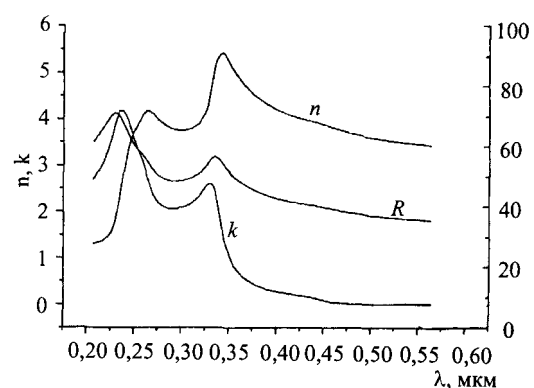


Рис. 1. Оптические постоянные фосфида галлия

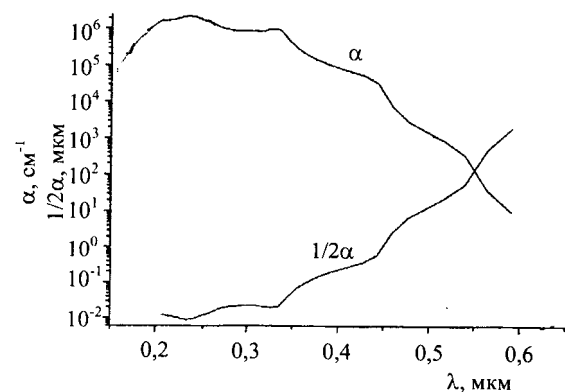


Рис. 2. Спектральная зависимость показателя поглощения фосфида галлия

Для создания фотоприемников в промышленности используются поверхность-барьерные структуры на основе фосфид галлия  $n$ -типа. Выбор GaP  $n$ -типа обусловлен большей высотой потенциального барьера в материале  $n$ -типа и минимальными токами утечки; технология выращивания кристаллов GaP  $n$ -типа хорошо освоена промышленностью.

Наиболее эффективные фотоприемники получены на эпитаксиальных структурах  $n$ -типа

с концентрацией носителей заряда в слое  $\leq 2 \cdot 10^{16} \text{ см}^{-3}$  [4]. Токовая чувствительность фотодиодов [4] на длине волны максимума спектральной чувствительности (430–440 нм) достигает 0,15 А/Вт, на длине волны 300 нм — 0,06 А/Вт.

Применение в качестве активного электрода полупрозрачных слоев металлов не позволяет создавать фотоприемники с высокой квантовой эффективностью вследствие значительного поглощения оптического излучения в слое металла [5, 6]. Как показано в работе [7], коэффициент пропускания пленки золота толщиной 0,1 нм, напыленной на фосфид галлия, находится в пределах 35–45 % в спектральном диапазоне 300–500 нм.

Более перспективным является использование в качестве активного электрода проводящего слоя окисла металла [7]. Поверхностно-барьерные фотодиоды изготавливались на эпитаксиальных  $n^+$ – $n$ -структурных с концентрацией носителей в эпитаксиальном слое порядка  $10^{16} \text{ см}^{-3}$ . Толщина последнего находилась в пределах 10–15 мкм. Барьерный контакт на поверхности эпитаксиального слоя создавался магнетронным напылением тонких проводящих слоев ITO (смесь  $\text{SnO}_2$  и  $\text{In}_2\text{O}_3$ ), а также FTO (слой  $\text{SnO}_2$ , легированный фтором) [8]. Основное преимущество тонких пленок окислов металлов в качестве активного электрода — их высокая прозрачность в области спектра 350–1100 нм, связанная с большим значением ширины запрещенной зоны ( $E_g \sim 3,8$  эВ). Кроме того, показатель преломления пленки идеально подходит для создания просветляющего покрытия. При толщине пленки 54,4 нм на длине волны 435 нм коэффициент пропускания напыленной пленки достигает 99,6 %.

С учетом ранее достигнутых результатов [2–8] был разработан фотодиод на основе фосфида галлия УФД20 с площадью фоточувствительного элемента 49  $\text{мм}^2$  [9].

Для создания фотоприемника использовались эпитаксиальные структуры  $n^+$ – $n$ -типа проводимости общей толщиной 300–370 мкм. Ориентация подложки GaP [111], концентрация носителей заряда в подложке составляет  $(1 - 4) \cdot 10^{17} \text{ см}^{-3}$ . Толщина эпитаксиального слоя  $n$ -типа не превышала 15 мкм, концентрация носителей заряда в эпитаксиальном слое —  $0,9 - 2 \cdot 10^{16} \text{ см}^{-3}$ .

Фоточувствительный элемент получен на основе поверхностно-барьерной структуры полупроводник — широкозонный полупроводник  $\text{SnO}_2$ . Слой  $\text{SnO}_2$ , легированный фтором с концентрацией до  $10^{20} \text{ см}^{-3}$ , наносился методом пульверизации на нагретую до температуры порядка 450 °C полупроводниковую пластину [10]. Использовался спиртовый раствор хлорида олова с добавкой фтористого аммония. Омический контакт создавался вжиганием сплава In–Ni в вакууме (либо в атмосфере водорода) при температуре ~600 °C.

Во избежание нежелательного загрязнения пластины при вжигании укладывались лицевой стороной на плоскую поверхность. Перед нанесением пленки  $\text{SnO}_2$  поверхность пластины обрабатывалась в растворе брома в диметилформамиде с последующей промывкой в спирте. В качестве контактного слоя к двуокиси олова использовался напыленный никель. Выделение фоточувствительных элементов и контактных слоев проводилось стандартными методами фотолитографии. Подсоединение выводов осуществлялось пайкой медных луженых выводов к контактным слоям. При ультразвуковой приварке использовался вариант структуры, где контактный слой metallизации выходил на защитный слой  $\text{SiO}_2$ .

Конструкция фоточувствительного элемента приведена на рис. 3. Фотоприемник изготовлен в пластмассовом прямоугольном корпусе с кварцевым входным окном (рис. 4).

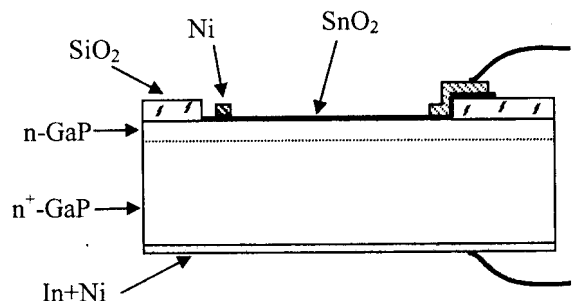


Рис. 3. Схематическое изображение конструкции фоточувствительного элемента

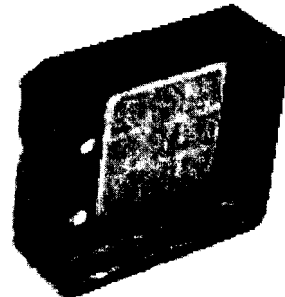


Рис. 4. Внешний вид фотодиода

Максимальные значения чувствительности обеспечиваются при конструкции фотодиода без входного окна. Области применения — метрология, спектрофотометрия, колориметрия, медицинская аппаратура, датчики пожара.

Основные фотоэлектрические параметры фотоприемника: площадь фоточувствительного элемента 49  $\text{см}^2$ ; область спектральной чувствительности 220–450 нм; длина волны максимума спектральной характеристики 430 нм; темновой ток фоточувствительного элемента при  $U = 0,01$  В — не более  $10^{-10} \text{ А/мм}^2$ ; статическая токовая монохроматическая чувствительность при  $\lambda = 430$  нм — не менее 0,20 А/Вт, при  $\lambda = 250$  нм — не менее

0,06 А/Вт; нелинейность энергетической характеристики в диапазоне  $10^{-12}$ – $10^{-6}$  Вт/см<sup>2</sup> — не более 1 %.

Исследованы характеристики разработанных фотодиодов. На рис. 5 представлена зависимость тока короткого замыкания  $J_{sc}$  от напряжения холостого хода  $U_{im}$  фотоочувствительного элемента. В качестве источника излучения использовался полупроводниковый излучающий диод с максимумом излучения на длине волны 470 нм. На том же рисунке приведены рассчитанные значения плотности обратного тока насыщения  $J_0$  и диодного коэффициента  $A$ .

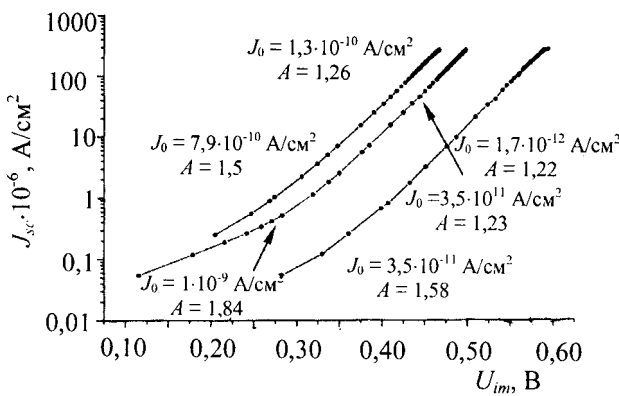


Рис. 5. Зависимость тока короткого замыкания  $J_{sc}$  от напряжения холостого хода  $U_{im}$ , расчетные значения плотности обратного тока насыщения  $J_0$  и диодного коэффициента

Так, если уравнение вольт-амперной характеристики представить в виде

$$J = J_0 \left[ \exp\left(\frac{qU}{AkT}\right) - 1 \right] - J_f,$$

где  $q$  — величина заряда электрона ( $1,6 \cdot 10^{-19}$  К);  
 $k$  — постоянная Больцмана ( $1,38 \cdot 10^{-23}$  Дж/К);  
 $J_f$  — плотность фототока,  
то значение диодного коэффициента можно найти согласно [11]

$$A \equiv \frac{q}{kT} \frac{\partial U}{\partial (\ln J)}.$$

У созданных фотоочувствительных структур наблюдается вариация  $J_0$  и  $A$  при изменении уровня облученности. Изменение  $J_0$  и  $A$ , по-видимому, вызвано поглощением света состояниями вблизи границы раздела в объеме материала у перехода. Может также сказываться наличие тонкой диэлектрической прослойки, которая может образоваться в процессе изготовления фотоочувствительного элемента.

На рис. 6 приведены значения разности концентраций ионизованных доноров и акцепторов  $N_D$  в приповерхностном слое фосфида галлия,

рассчитанные по данным измерения емкости фотоочувствительного элемента. Расчет осуществлялся согласно [10] по формуле

$$N_D = \frac{2}{q \epsilon_s} \frac{(-dU)}{d \left( \frac{1}{C^2} \right)},$$

где  $\epsilon_s = \epsilon_0 \epsilon$  ( $\epsilon_0 = 8,85 \cdot 10^{-12}$  Ф/м) — диэлектрическая проницаемость вакуума;

$\epsilon = 10$  — диэлектрическая постоянная для фосфида галлия);

$C$  — удельная емкость фотоочувствительного элемента.

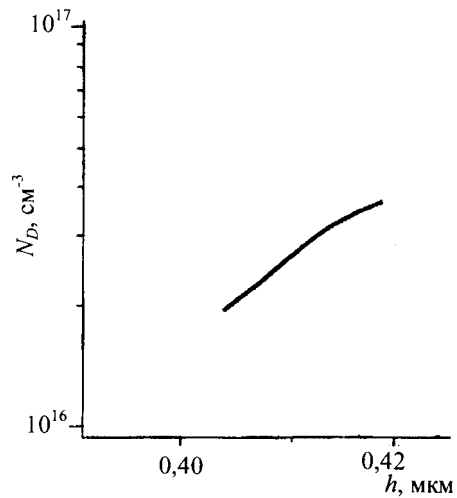


Рис. 6. Профиль распределения концентрации  $N_D$  в приповерхностной области эпитаксиального слоя

На рис. 7 представлена типовая спектральная характеристика токовой чувствительности фотоочувствительного элемента. Показана зависимость чувствительности от толщины нанесенного слоя окиси олова — кривые 1 и 2, соответственно, при наличии и отсутствии просветления на длине волны 310 нм.

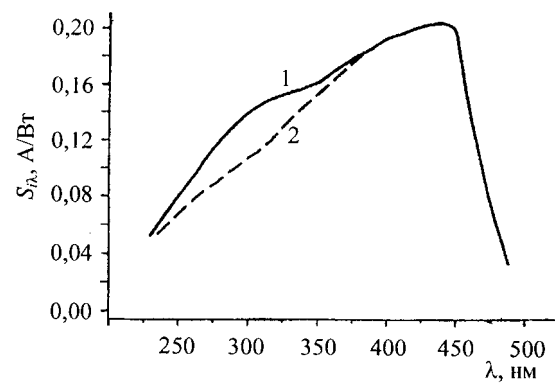


Рис. 7. Спектральная характеристика чувствительности фотоочувствительного элемента:

1 — с просветлением на длину волны 300 нм;  
2 — без просветления

Исследование вольт-амперной характеристики показывает, что для большинства фотодиодов напряжение пробоя составляет не менее 3 В.

На рис. 8 представлена вольт-емкостная характеристика фоточувствительного элемента, которая практически не меняется в области рабочих напряжений.

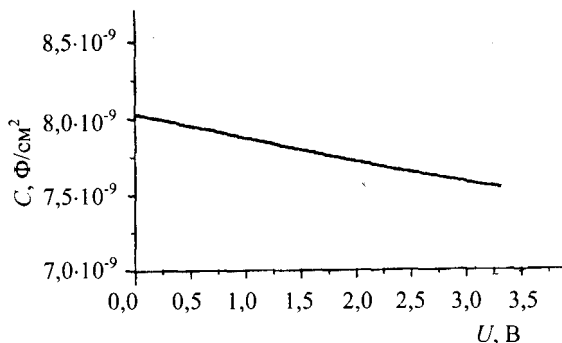


Рис. 8. Вольт-емкостная характеристика фоточувствительного элемента

Оценка технического уровня разработанного фотодиода проводилась сравнением его параметров с параметрами известных аналогов по назначению, применяющихся для контроля характеристик УФ-излучения и прямого аналога по конструкции. В первом случае исследовались фотодиод ФД288В на основе кремния, фотодиод на основе селенида цинка и селеновые фотоэлементы [12], во втором случае — фотодиод G1962 производства фирмы Hamamatsu (Япония) [8, 13]. Оценка показала, что разработанный фотодиод не уступает аналогам по назначению, а по величине токовой монохроматической чувствительности превосходит их.

## Выводы

1 Разработан поверхностью-барьерный фотодиод на основе эпитаксиальной структуры GaP  $n+$ - $n$ -типа и проводящего слоя окисла металла  $\text{SnO}_2$ , чувствительный в спектральном диапазоне 220—450 нм.

2 Исследованы характеристики фотодиода. Показано, что по своему уровню он превосходит известные аналоги по величине токовой монохроматической чувствительности и не уступает им по остальным параметрам.

## Литература

- Aspes D. E., Studna A. A. Dielectric functions and optical parameters of Si, Ge, GaAs, InP, InAs and InSb from 1,5 to 6,0 eV// Phys. Rev. B. 1983. 27. № 2. P. 985—1009.
- Гуткин А. А., Дмитриев М. В., Наследов Д. Н. Фоточувствительность поверхности-барьерных диодов Au- $n$ -GaP в области спектра 1,4—5,2 эВ// ФТП. 1972. Т. 6. № 3. С. 502—508.
- Царенков Б. В., Гольдберг Ю. А., Гусев Г. В., Огурцов В. П. Фотоэлектрические свойства поверхности-барьерных структур в УФ-полосе спектра// Там же. 1976. Т. 8. № 3. С. 410—413.
- Анисимова И. Д., Стafeев В. И. Фотоприемники ультрафиолетового диапазона на основе широкозонных соединений  $\text{A}_3\text{B}_5$ // Прикладная физика. 1999. № 2. С. 41—44.
- Photodiodes: Проспект фирмы Hamamatsu Photonics К. К., 1986. С. 19.
- Гольдберг Ю. А., Царенков Г. В./ Полупроводниковая техника и микроэлектроника. 1986. № 27. С. 33—43.
- Малик А. И., Грушица Г. Г. Оптоэлектронные свойства гетеропереходов окисел металла—фосфид галлия// Физика и техника полупроводников. 1991. Т. 25. № 10. С. 1891—1695.
- Malik A., Seco A., Fortunator E., Martins R., Shabashkevich B., Piroszenko S. A new high ultraviolet sensitivity FTO-GaP Schottky photodiode fabricated by spray pyrolysis// Semicond. Sci. Technol. 1998. 13. Р. 102—107.
- Пат. 71544. Україна. Фотодіод для ультрафіолетової області спектра/ Малік А. І., Шабашкевич Б. Г., Піроженко С. І. № 2000010281; Заявлено 18.01.2000; Опубл. 2004, Бюл. № 12.
- Заявка на корисну модель № 20040907504 від 14.09.04. Спосіб виготовлення поверхнево-бар'єрного фотодіоду/ Шабашкевич Б. Г., Піроженко С. І., Добровольський Ю. Г. Висновок про видачу патенту від 20.01.05.
- Зи С. М. Физика полупроводниковых приборов: Пер. с англ./ Под ред. А. Ф. Трутко. — М.: Энергия, 1973. — 656 с.
- Шабашкевич Б. Г., Назаренко Л. А., Годованок В. М., Юр'єв В. Г., Бутенко В. К., Докторович I. В. Дослідження фотоелектричних параметрів приймачів, чутливих в УФ-діапазоні// Український метрологічний журнал. 2004. № 1. С. 33—36.
- http://www.hamamatsu.com.

Статья поступила в редакцию 11 марта 2005 г.

## Photodetector of ultraviolet radiation on the basis of phosphide of gallium

M. P. Biksey, Yu. G. Dobrovolskiy, B. G. Shabashkevich  
Scientifically-production firm "Tenzor" Ltd, Chernovtsi, Ukraine

*The results of development of photodetector on the basis of phosphide of gallium sensible in a spectral range 220—450 nm are resulted. The detector sensitive element is got on the basis of superficial-barrier structure the phosphide of gallium — the dioxide of tin, alloyed by a fluorine. Current monochromatic sensitiveness of developed photodetector on the warrior of wave 440 nm makes no less than 0.2 A/W.*